

ارزیابی آماری خروجی مدل CMORPH در برآورد بارش شمال شرق ایران (مطالعه موردنی: خراسان شمالی)

آمنه میان آبادی^{۱*}- امین علیزاده^۲- حسین ثنایی نژاد^۳- محمد بنایان اول^۴- علیرضا فریدحسینی^۵

تاریخ دریافت: ۱۳۹۱/۸/۱۰

تاریخ پذیرش: ۱۳۹۲/۵/۲۰

چکیده

بارش یکی از پارامترهای ورودی مهم مدل‌های مختلف گیاهی و هیدرولوژی می‌باشد. در پژوهه‌های مختلف مدیریتی و پژوهشی بیشتر از داده‌های بارش زمینی برداشت شده در ایستگاه‌ها استفاده می‌شود. از آنجا که این ایستگاه‌ها دارای پوشش غرافیایی بسته‌ای نیستند، کاربرد آن‌ها با خطا همراه است. گرچه بهره‌گیری از روش‌های گوناگون درون یابی از راهکارهای پذیرفته شده برای برآورد بارش در مناطق بدون ایستگاه است، کاربرد این روش‌ها همراه با کاستی‌های فراوان نیز هست. در گذر چند دهه گذشته، با درهم آمیختن داشن و فناوری سنجش از دور با پدیده‌های هواشناسی، مدل‌های پیشرفته‌ای برای برآورد ویژگی‌های بارش پیشرفت داده شده اند که دارای توانایی‌های بالای آشکارسازی مکانی و زمانی هستند. در این پژوهش از بین مدل‌های ارائه شده، صحت سنجی مدل CMORPH در برآورد بارش شمال شرق ایران بررسی شده است. یافته‌ها نشان داد که این مدل در مقیاس روزانه دستاورد چندان پذیرفتی ندارد، اما در مقیاس ماهانه و فصلی، یافته‌ها از ریزیابی بالاتری برخوردار هستند. بیشترین همبستگی مدل با داده‌های ایستگاه‌ها در مقیاس روزانه در ایستگاه فاروج و نامانلو و به میزان ۰/۳۱ بدست آمد. در مقیاس ماهانه بیشترین همبستگی در ایستگاه‌های بارزو، نامانلو و سه یک آب و به میزان ۰/۶۲ بدست آمد. در مقیاس فصلی در ایستگاه غلامان و به میزان ۰/۶۳ دیده شد. گرچه مدل CMORPH در آشکارسازی روزهای بارانی تا اندازه‌ای کارآئی داشته، اما در برآورد روزهای تر و خشک، میانگین بارش سالانه و تعیین تعداد روزهای غیر بارانی نتایج قابل قبولی را به همراه نداشت.

واژه‌های کلیدی:

بارش، درونیابی، سنجش از دور، مدل CMORPH

مختلف درونیابی استفاده می‌شود که هر کدام از این روش‌ها دارای معایی می‌باشد که به عنوان مثال می‌توان به عدم دقیقت مناسب روش‌ها یا نیاز به داده‌های فراوان اشاره کرد. در سال‌های اخیر تلاش‌های زیادی جهت توسعه روش‌های مختلف تخمین بارش با استفاده از تصاویر ماهواره‌ای برای افزایش دقیقت تخمین بارش در پهنه‌های بدون ایستگاه صورت گرفته است. در همین زمینه مدل هایی با استفاده از فن سنجش از دور و تصاویر ماهواره‌ای در مقیاس جهانی و با توان تفکیک بالای مکانی و زمانی ارائه شده است که از آن جمله می‌توان به مدل PERSIANN^۶ (۸ و ۱۶)،^۷ PERSIANN-CCS^۸ (۱۱)،^۹ CMORPH^{۱۰} اشاره

مقدمه

یکی از مهمترین پارامترهای ورودی مدل‌های مختلف هیدرولوژی و گیاهی بارش می‌باشد. بنا بر این کیفیت و فراهم بودن داده‌های مناسب بارش در مناطق مختلف جهت استفاده در زمینه‌های کشاورزی، هیدرولوژی و مدیریت منابع آب و آبیاری دارای اهمیت زیادی است. هم اکنون بیشترین داده‌های بارش از ایستگاه‌های زمینی هواشناسی و بارانسنجی گردآوری می‌شود. این در حالی است که شبکه ایستگاه‌های اندازه‌گیری بارش در بیشتر مناطق و به ویژه در کشورهای در حال پیشرفت از پوشش مکانی خوبی برخوردار نمی‌باشد. از طرفی برای تخمین بارش در مناطق فاقد ایستگاه از روش‌های

- 6- Precipitation Estimation from Remotely Sensed Information Using Artificial Neural Networks
7- Climate Prediction Center (CPC) morphing technique
8- PERSIANN-Cloud Classification System

۱- به ترتیب دانشجوی دکتری، استاد، دانشیار و استادیار گروه مهندسی آب، دانشکده کشاورزی، دانشگاه فردوسی مشهد
۲- نویسنده مسئول: (Email: amianabadi@stu.um.ac.ir)
۳- دانشیار گروه زراعت و اصلاح نباتات دانشکده کشاورزی دانشگاه فردوسی مشهد

این مدل از عرض ۶۰ درجه جنوبی تا ۶۰ درجه شمالی را پوشش می‌دهد. داده‌های میکروویو غیر فعال در مدل CMORPH توسط سنجنده SSM/I در ماهواره‌های DMSP14، DMSP13 و NOAA15، AMSU-B در ماهواره‌های NOAA16 و NOAA17 و نیز سنجنده TRMM در ماهواره TMI به می‌شوند. تصاویر مادون قرمز نیز از طریق ماهواره‌های GOES-10، GOES-8، Meteosat-5 و Meteosat-7 به دست می‌آید^(۱۱). شدت و شکل بارش توسط تصاویر مایکروویو و با توجه به میزان پراکنش و انتشار از قطرات باران محاسبه می‌شود. در زمان‌هایی که این تصاویر موجود است، بین بارش حاصل از این تصاویر و دمای بالای ابر به دست آمده از تصاویر مادون قرمز رابطه‌ای به دست می‌آید که با استفاده از این رابطه در زمان‌هایی که تصاویر مایکروویو موجود نیست، مقدار بارش با استفاده از تکنیک مورفینگ^۳ تخمین زده می‌شود. توضیح بیشتر در مورد این تکنیک در منع جویس و همکاران^(۱۱) آمده است.

جویس و همکاران^(۱۱) در تحقیق خود جهت معرفی مدل CMORPH، با مقایسه خروجی مدل با استگاه‌ها در استرالیا و آیالات متحده به این نتیجه رسیدند که مدل فوق با مقدار RMSE معادل ۴ تا ۱۴ میلیمتر تخمین خوبی از بارش در این مناطق ارائه می‌دهد^(۱۱). جیانگ و همکاران^(۱۰) با مقایسه مدل‌های TMPA و CMORPH به این نتیجه رسیدند که مدل CMORPH نسبت به TMPA دقت کمتری در تخمین بارش دارد^(۱۰). نتایج تحقیق رومنی و جبرمایکل^(۱۵) در حوضه رودخانه اتبیوی نشان داد که مدل CMORPH نسبت به مدل PERSIANN از دقت بیشتری در تخمین بارش حوضه برخوردار است، اما نسبت به مدل TMPA دقت کمتری دارد^(۱۵). زیوولدی و جبرمایکل^(۲۱) مقادیر بارش حاصل از CMORPH را با رادار مقایسه نموده و مشاهده نمودند که مدل CMORPH در تخمین بارش در زمستان فروپرآورد و در تابستان فرابرآورد داشته است^(۲۱).

داده‌های حاصل از تصاویر ماهواره‌ای معمولاً دارای خطاهایی هستند که ناشی از عواملی همچون تناب و نمونه برداری، میدان دید غیر یکنواخت سنجنده‌ها و عدم قطعیت در الگوریتم‌های استخراج بارش می‌باشد. همچنین میزان دقت مدل در بعضی موارد به رژیم بارندگی و ارتفاع نیز بستگی دارد که می‌تواند باعث خطا در مدل شود^(۱۵). بنابراین صحت سنجی این مدل‌ها با استفاده از داده‌های بارش زمینی برای بررسی میزان قابل اعتماد بودن محصولات ماهواره‌ای در این زمینه ضروری است^(۱۴). از آنجا که کارآیی مدل CMORPH تاکنون در ایران ارزیابی نشده است، هدف اصلی این پژوهش، بررسی و صحت سنجی این مدل در تخمین بارش منطقه

کرد. این مدل‌ها می‌توانند نقشه‌های جهانی بارش را با توان تفکیک زمانی کمتر از ۳ ساعت و مکانی کوچکتر از ۰/۲۵ درجه را فراهم کنند. این مدل‌ها باید پیش از استفاده در زمینه‌های مختلف با داده‌های زمینی مقایسه شده و دقت آن‌ها در تخمین بارش مورد بررسی قرار گیرد. در این زمینه تحقیقات مختلفی در سراسر جهان انجام شده است که در این پژوهش ها خروجی مدل‌ها با مقدار بارش ثبت شده در استگاه‌های بارانسنجی و یا رادارها مقایسه گردیده است^{(۱)، (۲)، (۳)، (۵)، (۱۲)، (۱۷) و (۱۹)}. بیشتر این تحقیقات نشان داده است که این مدل‌ها از دقت قابل قبولی در تخمین بارش برخوردار می‌باشند. برخی از پژوهشگران نیز به منظور افزایش دقت تخمین، بارش به دست آمده از مدل‌ها را با استفاده از تکنیک‌های مختلف با بارش ثبت شده در استگاه‌ها ترکیب کرده اند^{(۴)، (۱۰)، (۱۳) و (۲۰)}. اما این روش‌ها در شرایطی که مدل‌های سنجش از دور تخمین خوبی از بارش نداشته باشند و یا تعداد استگاه‌های بارانسنجی کافی نباشد، دقت چندانی نخواهد داشت^(۱۰).

تصاویر حاصل از طیف مادون قرمز از سنجنده‌هایی به دست می‌آیند که در ماهواره‌های زمین آهنگ قرار دارند، بنابراین علیرغم داشتن تفکیک زمانی بسیار بالا، دارای تفکیک مکانی چندان مناسبی نمی‌باشد. همچنین از آن جا که این تصاویر دمای بالای ابر را شان می‌دهند، نمی‌توان ادعا کرد که بین بارش رخداده و دمای بالای ابر رابطه خوبی وجود دارد^(۱۱). همچنین به دلیل عدم تمایز مناسب بین ابرهای مختلف توسط این تصاویر، نمی‌توان به خوبی بارش باران را پیش‌بینی نمود. لذا استفاده از این تصاویر به تنها یک ثمرگذشت نیست^(۱۱). از طرفی سیگنال‌های مایکروویو غیر فعال^۱ می‌تواند با جذب انتشار حرارتی قطرات باران و پراکنش تابش ناشی از وجود ذرات بخ و سیستم‌های همرفتی، به پیش‌بینی وقوع بارش کمک کند. همچنین به دلیل استفاده از سنجنده‌های آن در ماهواره‌های مدار قطبی، این تصاویر از توان تفکیک مکانی بهتری نسبت به تصاویر مادون قرمز برخوردار هستند. بنابراین ترکیب این دو نوع تصاویر می‌تواند باعث تخمین بهتر بارش با استفاده از فن سنجش از دور شود^(۱۱).

مدل CMORPH در سال ۲۰۰۴ توسط جویس و همکاران^(۱۱) در مرکز پیش‌بینی اقلیم NOAA آراهه شد. خروجی این مدل مقدار بارش بر مبنای تصاویر ماهواره‌ای است و از دسامبر ۲۰۰۲ تاکنون بر روی سایت NOAA^۲ قرار دارد. تفکیک زمانی و مکانی این مدل به ترتیب ۳ ساعت و ۰/۲۵ درجه می‌باشد. نسخه دیگری از مدل فوق نیز ارائه شده است که دارای تفکیک زمانی و مکانی ۳۰ دقیقه و ۸ کیلومتر می‌باشد، اما داده‌های آن تنها برای دو ماه اخیر موجود است.

1- Passive MicroWave (PMW)

2 - National Oceanic and Atmospheric Administration

3 - <ftp://ftp.cpc.ncep.noaa.gov>

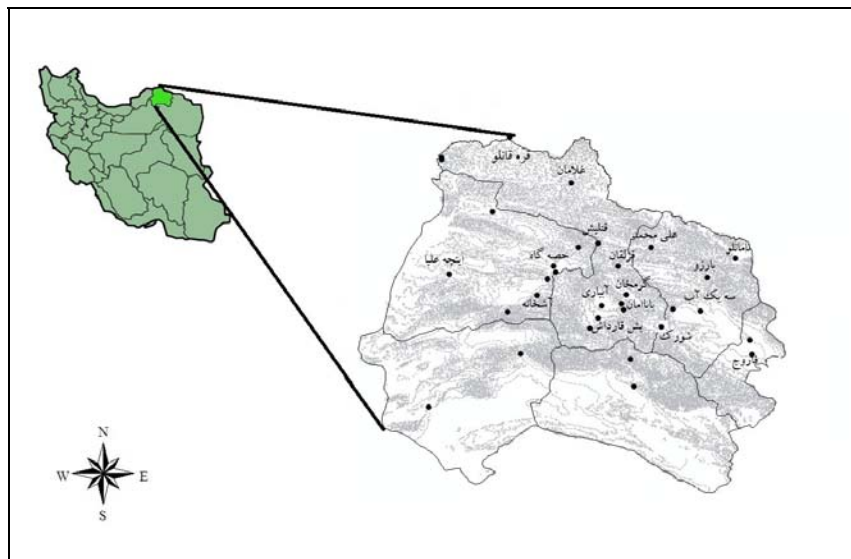
مختلف و صحت سنجی آن از تعداد ۱۷ ایستگاه بارانسنجی سازمان آب منطقه‌ای خراسان شمالی که دارای داده‌های کاملی در فاصله زمانی ۲۰۰۸-۲۰۰۳ بودند، استفاده شد. مشخصات این ایستگاه‌ها در

جدول ۱ و موقعیت جغرافیایی آنها در شکل ۱ آمده است.

شمال شرق ایران می‌باشد.

مواد و روش‌ها

برای بررسی دقیق مدل CMORPH در تعیین میزان بارش نقاط



شکل ۱- موقعیت ایستگاه‌های بارانسنجی در خراسان شمالی (نام ایستگاه‌های مورد مطالعه در شکل ۱ آمده است)

جدول ۱- مختصات ایستگاه‌های بارانسنجی مورد بررسی در خراسان شمالی

نام ایستگاه دریا	ارتفاع از سطح درجه				طول جغرافیایی دقیقه			عرض جغرافیایی دقیقه		
	متر	دقیقه	درجه	دقیقه	درجه	دقیقه	درجه	دقیقه	درجه	
گرمنخان	946	28	57	31	37					
فاروج	1194	13	58	14	37					
نامانلو	1830	7	58	40	37					
سد شورک	1168	41	57	22	37					
آشخانه	751	55	56	33	37					
شیروان (سه یک آب)	1138	55	57	24	37					
علی محمد	1300	37	57	44	37					
بارزو	1423	57	57	36	37					
اینه‌جه علیا	748	24	56	37	37					
بابالامان	1019	26	57	28	37					
قرزلقان	1052	24	57	39	37					
قتلهش	977	18	57	48	37					
حصه گاه	800	2	57	40	37					
غلامان	1239	8	57	3	38					
قره قانلو	943	44	56	15	38					
بش قارداش	1116	17	57	24	37					
آبیاری بجنورد	1087	19	57	27	37					

دقت مدل در تعیین تعداد روزهای خشک و تر و میانگین مجموع بارش سالانه نیز مورد بررسی قرار گرفت.

نتایج و بحث

یافته‌های آماری نشان داد که مدل فوق در مقیاس‌های مختلف زمانی نتایج قابل قبولی ارائه نمی‌دهد. همان‌گونه که در جدول ۲ دیده می‌شود، ضریب همبستگی اسپیرمن در مقیاس روزانه در ایستگاه‌های مورد بررسی از $0.21/0$ (فاروج و نامانلو) بیشتر نمی‌باشد که این مقدار همبستگی چندان قابل توجه نیست. کمترین مقدار همبستگی نیز در ایستگاه‌های علی محمد، قره قانلو و غلامان و به میزان $0.07/0$ دیده می‌شود.

در مقیاس ماهانه، ضریب همبستگی بهتر از مقیاس روزانه بوده و در بعضی از ایستگاه‌ها تا $0.62/0$ همبستگی (بارزو، نامانلو و سه یک آب) دیده می‌شود. در این مقیاس کمترین همبستگی برابر $0.37/0$ و مربوط به ایستگاه آشخانه می‌باشد. در مقیاس فصلی دامنه ضریب همبستگی از $0.35/0$ در قره قانلو تا $0.63/0$ در غلامان تغییر می‌کند. بررسی‌های انجام شده نشان داد که ضریب همبستگی در ایستگاه‌هایی که روزهای بارانی بیشتری دارند، بالاتر است. کمترین اختلاف بین نتایج مدل و بارش ایستگاه‌ها، در فصل تابستان و بیشترین اختلاف در فصل زمستان دیده می‌شود که این امر می‌تواند به دلیل رژیم مدیترانه‌ای بارش‌های ایران باشد. خصوصیت اصلی رژیم بارندگی مدیترانه‌ای بارش‌های زمستانه و خشکی تابستانه آن است.

شکل ۲ نیز همبستگی خروجی مدل با ایستگاه‌ها را به ترتیب در مقیاس‌های روزانه، ماهانه و فصلی برای سه ایستگاه نامانلو، فاروج و سه یک آب به عنوان نمونه نشان می‌دهد. خروجی‌های مدل CMORPH نشان می‌دهد که بارش حاصل از مدل نسبت به ایستگاه‌ها از پراکنش زمانی بیشتری در طول سال برخوردار بوده و مقدار آن نیز کمتر است که این مسئله می‌تواند بر میزان ضریب همبستگی، MBE و RMSE اثر قابل توجهی داشته باشد. مقدار MBE و RMSE در مقیاس‌های مختلف زمانی در جدول ۲ دیده می‌شود. در مقیاس روزانه، تعداد زیاد روزهای بدون بارش اثر قابل توجهی بر میزان ضریب همبستگی، MBE و RMSE گذاشته است و بنابراین علیرغم وجود همبستگی بسیار کم روزانه، مقدار این دو معیار در مقیاس روزانه بسیار کمتر از مقدار آن‌ها در مقیاس ماهانه و فصلی می‌باشد. همچنین می‌توان گفت به دلیل اینکه مدل از نظر همزمانی وقوع بارش با ایستگاه نیز دقت قابل قبولی را نشان نمی‌دهد، بنابراین مجموع بارش ماهانه و فصلی در مدل هماهنگی چندانی با ایستگاه‌ها نداشته و به دلیل اختلاف زیاد بین دو مجموعه داده، مقدار بالای

برای صحت سنجی مدل، داده‌های بارش ۳ ساعته برای سالهای ۲۰۰۳-۲۰۰۸ از سایت NOAA تهیه شد. خروجی مدل شامل شبکه‌ای از نقاط با فاصله $0.25/0$ درجه می‌باشد و لذا داده‌های بارش ایستگاه‌هایی که بر روی نقاط شبکه موجود نیستند، با درونیابی مقدار بارش 4 نقطه اطراف ایستگاه به دست آمد. به این منظور برنامه‌ای جهت خواندن خروجی مدل برای منطقه مورد نظر و تعیین بارش در نقاط مربوط به هر ایستگاه با زبان برنامه نویسی C نوشته شد. لازم به ذکر است که برای عرض‌های جغرافیایی $0.25/0$ درجه برابر 27.8 کیلومتر می‌باشد، در حالی که برای طول‌های جغرافیایی مختلف این مقدار از $22/2$ کیلومتر در عرض 37 درجه شمالی یا جنوبی تا $27/8$ کیلومتر در استوا تغییر می‌کند (18). معیارهای خطا سنجی مورد استفاده جهت بررسی دقت مدل شامل RMSE، MBE و ضریب همبستگی ناپارامتریک اسپیرمن می‌باشد. این معیارها در سه مقیاس روزانه، ماهانه و فصلی مورد بررسی قرار گرفت. جهت محاسبه ضریب همبستگی اسپیرمن بین داده‌های بارش اندازه گیری شده و خروجی مدل از نرم افزار SPSS 11.5 استفاده شد. همچنین سه شاخص آماری طبقه بندی^۱ شامل احتمال آشکارسازی (POD)، نرخ هشدار اشتباه (FAR)^۲ و شاخص آستانه موفقیت (CSI)^۳ برای میزان دقت مدل در تخمین روزهای بارانی مورد بررسی قرار گرفت. شاخص احتمال آشکارسازی نشان دهنده میزان دقت مدل در تشخیص وقوع بارش است. نسبت آشکارسازی اشتباه نیز مواردی را نشان می‌دهد که در آن مدل وقوع بارش را نشان داده است، اما در ایستگاه بارشی نداده است. شاخص بحرانی موفقیت نیز نشان دهنده نسبتی از وقوع بارش است که توسط مدل به درستی تشخیص داده است. برای محاسبه این شاخص‌ها از معادلات ۱ تا ۳ استفاده می‌شود (۶).

$$\text{POD} = \frac{\text{RR}}{\text{RN} + \text{RR}} \quad (1)$$

$$\text{FAR} = \frac{\text{RN}}{\text{RR} + \text{RN}} \quad (2)$$

$$\text{CSI} = \frac{\text{RR}}{\text{RR} + \text{RN} + \text{NR}} \quad (3)$$

در این معادلات حرف R نشانه وقوع بارش و حرف N نشانه عدم وقوع بارش است. در هر ترکیب حرف اول مربوط به ایستگاه و حرف دوم مربوط به مدل می‌باشد. به عنوان مثال NR معرف تعداد روزهایی است که در ایستگاه بارشی رخ نداده اما مدل وقوع بارش را نشان می‌دهد. در بهترین حالت ممکن مقدار POD، FAR و CSI به ترتیب برابر $1/0$ و $0/0$ می‌باشد. علاوه بر معیارهای نام برده، میزان

1 - categorical statistical indices

2 - Probability Of Detection

3 - False Alarm Ratio

4 - Critical Success Index

مختلف نشان می‌دهد. بیشترین مقدار POD در ایستگاه فاروج و به میزان ۰/۸۳، کمترین مقدار FAR در ایستگاه بابامان و به میزان ۰/۷۵ و بیشترین مقدار CSI برابر ۰/۲۴ و برای ایستگاه نامانلو به دست آمد. مقادیر بالای POD نشان دهنده این است که مدل به خوبی توانسته است روزهای بارانی را آشکارسازی کند، اما در مقابل مقادیر بالای FAR نشان می‌دهد که تعداد روزهای غیر بارانی در مدل و ایستگاه‌ها دارای تطابق خوبی نمی‌باشد. مقادیر CSI نیز نشان می‌دهد که به طور کلی مدل CMORPH در منطقه شمال شرق به خوبی توانسته است روزهای بارانی و غیر بارانی را از هم تفکیک کند.

جدول ۴ نشان می‌دهد که مدل CMORPH در تخمین متوسط بارش سالانه و تعداد روزهای تر و خشک منطقه شمال شرق ایران نیز از دقت خوبی برخوردار نمی‌باشد. تفاوت بسیار زیاد تعداد روزهای تر نیز نشان دهنده توزیع بارش تخمین زده شده توسط مدل CMORPH در طول سال می‌باشد.

نتیجه گیری

در تحقیق حاضر صحت سنجی مدل CMORPH در تخمین بارش شمال شرق ایران مورد بررسی قرار گرفت. نتایج بررسی این مدل در منطقه خراسان شمالی نشان داد که مدل فوق در تخمین بارش روزانه‌ای می‌باشد.

از MBE و RMSE دیده می‌شود. کمترین مقدار RMSE در مقیاس‌های روزانه، ماهانه و فصلی به ترتیب مربوط به ایستگاه‌های فاروج (۲/۵۱)، فاروج (۰/۸۳) و اینچه علیا (۴۵/۳۳) و بیشترین آن مربوط به ایستگاه‌های علی محمد (۴/۲۵)، آشخانه (۳۵/۳۰) و حصه گاه، (۷۹/۲۷) می‌باشد. با توجه به مقادیر MBE مشاهده می‌شود که مقدار بارش تخمین زده شده توسط مدل CMORPH در بعضی از ایستگاه‌ها فرابرابر و در برخی دیگر فربه‌برابر داشته است و هیچ الگوی خاصی در تخمین بارش توسط مدل در هیچ یک از مقیاس‌های زمانی دیده نمی‌شود.

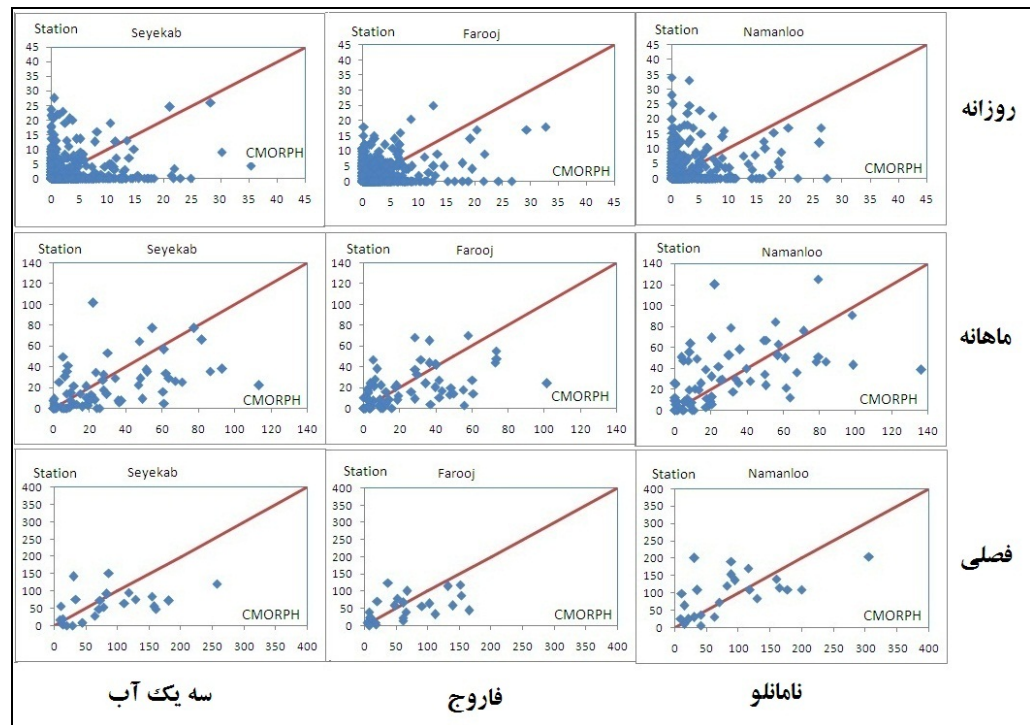
به نظر می‌رسد یکی از دلایل اصلی اختلافات موجود، شبکه مدل CMORPH می‌باشد. با وجود فاصله ۰/۲۵ درجه ای بین نقاط شبکه که تقریباً برابر ۲۸ کیلومتر می‌باشد، احتمال آشکارسازی برخی از سیستم‌های همرفتی ضعیف بوده و لذا احتمال دارد که مدل تواند بارش‌های سنگین را به خوبی برآورد نکند. با توجه به این که این مدل بیشتر در گستره‌های پرباران دقت خوبی در برآورد بارش نشان داده است، لذا می‌توان گفت که در مناطق خشک و نیمه خشک به علت اینکه ابرها پس از تشکیل دوام زیادی نداشته و به سرعت از بین می‌روند، لذا سنجنده‌ها نمی‌توانند به خوبی دمای بالای ابر را روندیابی کنند که این مسئله می‌تواند باعث کاهش دقت آنها در تخمین بارش در این مناطق شود.

جدول ۳ نیز شاخص‌های آماری طبقه‌بندی را برای ایستگاه‌های

جدول ۲- معیارهای خطاب سنجی محاسبه شده در ایستگاه‌های مورد بررسی

مقیاس	شاخص	ضریب همبستگی اسپیرمن*					
		روزانه	ماهانه	فصلی	روزانه	ماهانه	فصلی
آبیاری بجنورد	فاروج	0.24	0.59	0.50	3.22	32.76	4.25
علی محمد	گرمخان	0.21	0.53	0.42	72.42	32.76	-0.36
آشخانه	قره قانلو	0.24	0.37	0.56	35.30	35.30	-0.20
بابا امان	قلیش	0.25	0.58	0.47	24.51	24.51	-0.05
بارزو	قرلغان	0.25	0.62	0.53	29.51	29.51	0.11
بش قارداش	غلامان	0.25	0.59	0.48	23.01	23.01	0.10
	نامانلو	0.31	0.61	0.57	20.83	20.83	0.15
	سه یک آب	0.23	0.61	0.47	24.05	24.05	-0.04
	شورک	0.21	0.49	0.35	25.88	25.88	0.25
		0.27	0.61	0.55	21.34	21.34	0.07
		0.25	0.52	0.39	25.44	25.44	0.21
		0.21	0.55	0.63	29.67	29.67	0.18
		0.26	0.47	0.36	32.94	32.94	-0.36
		0.24	0.52	0.40	22.31	22.31	-0.10
		0.31	0.62	0.61	28.46	28.46	-0.11
		0.23	0.62	0.54	25.61	25.61	0.26
		0.22	0.61	0.51	24.41	24.41	0.01

*- ضریب همبستگی اسپیرمن در سطح ۹۹ درصد معنی دار می‌باشد.



شکل ۲- همبستگی خروجی مدل CMORPH با بارش ثبت شده در سه ایستگاه نامانلو، فاروج و سه یک آب (محور افقی خروجی مدل و محور عمودی بارش ایستگاه ها را نشان می دهد، خط ممتد نیز خط ۱:۱ می باشد)

جدول ۳- شاخص های آماری طبقه بندی محاسبه شده در ایستگاه های مورد بررسی

ایستگاه				ایستگاه			
CSI	FAR	POD	ایستگاه	CSI	FAR	POD	ایستگاه
0.20	0.79	0.73	فتلیش	0.21	0.77	0.69	آبیاری بجورد
0.18	0.81	0.75	قرلقان	0.15	0.83	0.70	علی محمد
0.19	0.79	0.66	غلامان	0.20	0.77	0.65	آشخانه
0.20	0.78	0.69	حصه گاه	0.22	0.75	0.67	بابا امان
0.19	0.79	0.63	اینچه علیا	0.21	0.77	0.75	بارزو
0.24	0.75	0.79	نامانلو	0.19	0.79	0.68	بش قارداش
0.16	0.83	0.75	سه یک آب	0.17	0.82	0.83	فاروج
0.19	0.79	0.65	شورک	0.16	0.82	0.69	گرمخان
				0.13	0.86	0.75	قره قانلو

توسط الگوریتم مدل آشکارسازی نشود. همچنین همان طور که گفته شد، میزان دقت مدل در بعضی موارد به رژیم بارندگی و ارتفاع نیز بستگی دارد که می تواند باعث خطا در مدل شود. به طوری که در مناطق خشک و نیمه خشک به دلیل تشکیل و از بین رفتن سریع ابرها امکان روندیابی دمای ابر توسط سنجنده ها به خوبی امکان پذیر نمی باشد. یکی دیگر از موارد خطا در الگوهای تخمین بارش توسط تصاویر ماهواره ای همپوشانی ابرها می باشد. در حالی که تصاویر مادون قرمز دمای ابر بالایی را نشان می دهند، تصاویر مایکروویو بارش حاصل از ابر پایین را نشان می دهند. البته در صورت ارائه

اگرچه این مدل در آشکارسازی روزهای بارانی تا حدودی موفق بوده است، اما در تخمین روزهای تر و خشک، متوسط بارش سالانه و تعیین تعداد روزهای غیر بارانی از دقت قابل قبول برخوردار نمی باشد. نتایج نشان داد که در ایستگاه هایی که دارای تعداد روزهای بارانی بیشتری هستند، دقت مدل بیشتر از سایر ایستگاه ها می باشد. هرچند که می توان گفت بخشی از خطای موجود در بارش به دست آمده از مدل، ناشی از درونیابی داده های آن جهت تخمین بارش در ایستگاه ها می باشد، اما شبکه $\frac{1}{25}$ درجه ای این مدل باعث می شود که در بعضی موارد، بارش های ناشی از سامانه های هم رفتی محلی به خوبی

داده‌های کامل نسخه دیگر مدل با توان تفکیک مکانی ۸ کیلومتر، در آینده احتمال حصول نتایج دقیق‌تر وجود خواهد داشت. همچنین افزایش دقت تخمین بارش شود.

جدول ۴- متوسط بارش سالانه و تعداد روزهای تر و خشک در دوره ۲۰۰۳-۲۰۰۸ در ایستگاه‌های مورد بررسی

ایستگاه	CMORPH	متوسط بارش سالانه		متوسط تعداد روزهای تر		ایستگاه
		ایستگاه	CMORPH	ایستگاه	CMORPH	
آبیاری بجنورد	205	309	160	57	288	244
علی محمد	190	328	176	37	281	395
أشخانه	209	310	157	55	267	341
بابا امان	206	307	159	59	278	297
بارزو	178	309	187	57	375	333
بش قارداش	207	316	158	50	286	249
فاروج	198	329	167	36	264	209
گرمخان	206	324	159	41	280	293
قره قالو	175	330	191	36	352	260
قطلیش	185	313	180	53	286	262
قرقلان	181	319	184	46	332	257
غلامان	176	305	190	61	375	308
حصه گاه	195	310	171	56	260	391
ایچه علیا	227	319	139	47	235	270
نامانلو	165	302	200	64	350	391
سه یک آب	180	322	185	43	327	232
شورک	210	316	156	49	262	258

منابع

- بارانی زاده ا., بهیار م., جوانمرد س. و عابدینی ا. ۱۳۹۰. صحت سنجی برآوردهای بارندگی الگوریتم ماهواره‌ای PERSIANN با داده‌های بارش زمینی شبکه بنده شده (APHRODITE) در ایران. مقاله نامه کنفرانس فیزیک ایران، ۲۶۱۵-۲۶۱۸.
- غضنفری مقدم م., علیزاده ا., موسوی بایگی م., فریدحسینی ع. و بنایان اول م. ۱۳۹۰. مقایسه مدل PERSIANN با روش‌های درونیابی به منظور کاربرد در تخمین مقادیر بارندگی روزانه (مطالعه موردی: خراسان شمالی). نشریه آب و خاک ۲۰۷-۲۱۵:۲۵.
- Behrangi A., Khakbaz B., Jaw T., AghaKouchak A. and Hsu K. 2011. Hydrologic evaluation of satellite precipitation products over a mid-size basin. Journal of Hydrology, 397: 225-237.
- Chiang Y., Hsu K., Chang F., Hong Y. and Sorooshian S. 2007. Merging multiple precipitation sources for flash flood forecasting. Journal of Hydrology, 340:183-196.
- Grimes D. 2003. Satellite-based rainfall estimation for river flow forecasting in Africa. I: Rainfall estimates and hydrological forecasts. Hydrological Sciences, 48(4): 567-584.
- Ebert E.E., Janowiak J.E. and Kidd C. 2007. Comparison of near-real-time precipitation estimates from satellite observations and numerical models. Bulletin American Meteorological Society 88, 47-64.
- Hong Y., Hsu K., Sorooshian S. and Gao X. 2004. Precipitation estimation from remotely sensed imagery using artificial neural network-cloud classification system. Journal of Applied Meteorology 43:1834-1852.
- Hsu K., Gao X., Sorooshian S. and Gupta H. 1997. Precipitation Estimation from Remotely Sensed Information Using Artificial Neural Networks. Journal of Applied Meteorology, 36: 1176-1190.
- Huffman G., Adler R., Bolvin D., Gu G., Nelkin E., Bowman K., Hong Y., Stocker E. and Wolff D. 2007. The TRMM Multi-satellite Precipitation Analysis (TMPA): Quasi-Global, Multi-Year, Combined-Sensor Precipitation Estimates at Fine Scales. Journal of Hydrometeorology, 8:38-55.
- Jiang Sh., Ren L., Hong Y., Yong B., Yang X., Yuan F. and Ma M. 2012. Comprehensive Evaluation of Multi-satellite Precipitation Products with a Dense Rain Gauge Network and Optimally Merging their Simulated Hydrological Flows using the Bayesian Model Averaging Method. Journal of Hydrology, 452-453:213-225.
- Joyce R., Janowiak J., Arkin Ph. and Xie P. 2004. CMORPH: A Method that Produces Global Precipitation

- Estimates from Passive Microwave and Infrared Data at High Spatial and Temporal Resolution. *Journal of Hydrology*, 5:487-503.
- 12- Juglea S., Kerr Y., Mialon A., Lopez-Baeza E., Braithwaite D. and Hsu K. 2010. Evaluation of PERSIANN database in the framework of SMOS Calibration/Validation activities over Valencia Anchor Station. *EGU, Hydrology and Earth System Sciences*, 7:1143–1166.
- 13- Li M. and Shao Q. 2010. An improved statistical approach to merge satellite rainfall estimates and raingauge data. *Journal of Hydrology*, 385:51-64.
- 14- Li X., Zhang Q. and Xu Ch. 2012. Suitability of the TRMM satellite rainfalls in driving a distributed hydrological model for water balance computations in Xinjiang catchment, Poyang lake basin. *Journal of Hydrology*, 426-427:28-38.
- 15- Romilly T.G. and Gebremichael M. 2011. Evaluation of satellite rainfall estimates over Ethiopian river basins, *EGU, Hydrology and Earth System Sciences*, 15:1505-1514.
- 16- Sorooshian S., Hsu K., Gao X., Gupta H., Imam B. and Braithwaite D. 2000. Evolution of the PERSIANN system satellite-based estimates of tropical rainfall. *Bulletin American Meteorological Society*, 81(9):2035–2046.
- 17- Vernimmen R., Hooijer A., Mamenun, and Aldrian E. 2011. Evaluation and bias correction of satellite rainfall data for drought monitoring in Indonesia. *EGU, Hydrology and Earth System Sciences*, 8:5969–5997.
- 18- Vrieling A., Strek G. and Jong S. 2010. Satellite-based estimation of rainfall erosivity for Africa. *Journal of Hydrology*, 395:235-241.
- 19- Yilmaz K., Hogue T., Hsu K., Soorooshian S., Gupta H. and Wagener Th. 2005. Intercomparison of Rain Gauge, Radar, and Satellite-Based Precipitation Estimates with Emphasis on Hydrologic Forecasting. *Journal of Hydrology*, 6:497-517.
- 20- Yilmaz M., Houser P., Sherestha R. and Anantharaj V. 2010. Optimally merging precipitation to minimize land surface modeling errors. *Journal of Applied Meteorology and Climatology*, 49:415-423.
- 21- Zeweldi D. and Gebremichael M. 2009. Evaluation of CMORPH Precipitation Products at Fine Space-Time Scales. *Journal of Hydrometeorology*, 10:300-307.



The Statistic Assessment of CMORPH Model Output For Precipitation Estimation Over The Northeast of Iran (Case Study: North Khurasan Province)

A. Mianabadi^{1*} - A. Alizadeh² - H. Sanaeinejad³ - M. Bannayan Awal⁴- A. Faridhosseini⁵

Received:31-10-2012

Accepted:11-08-2013

Abstract

Precipitation is a key input to different crop and hydrological models. Usually, the rain gauge precipitation data is applied for the most management and researching projects. But because of non-appropriate spatial distribution of rain gauge network, this data does not have a desirable accurate. So estimation of daily areal rainfall can be obtained by spatial interpolation of rain gauges data. However, direct application of these techniques may produce inaccurate results. In the last years, applying the remote sensing for estimation of rainfall have got so popular all around the word and many techniques have been developed based on the satellite data with high temporal and spatial resolution. In this paper, CMORPH model was validated for precipitation estimation over the northeast of Iran. Results showed that this model could not estimate precipitation accurately in daily scale, but in monthly and seasonal scale the estimation was more accurate. Farooj and Namanloo station had the highest correlation equal to 0.31 in daily scale. The highest correlation in monthly scale was equal to 0.62 for Barzoo, Namanloo and Se yekAb station. In Seasonal scale Gholaman station had the highest correlation which was equal to 0.63. Also, the probability of detection has been estimated accurately by CMORPH. But this technique did not have an accurate estimation for wet and dry days, mean annual precipitation and the number of non-rainy days.

Keywords: Precipitation, Interpolation, Remote sensing, CMORPH model

1, 2, 3, 5- PhD Student, Professor, Associate Professor and Assistant Professor, Department of Water Engineering, Faculty of Agriculture, Ferdowsi University of Mashhad, Respectively

(*- Corresponding Author Email: amianabadi@stu.um.ac.ir)

4- Associate Professor, Department of Agronomy and Plant Breeding, Faculty of Agriculture, Ferdowsi University of Mashhad